

# تعیین مختصات رنگ نمونه های شکر خام نیشکری وارداتی بوسیله اسپکتروفتورادیومتر و بررسی همبستگی آن ها با برخی خصوصیات کیفی

محمد عرفان بهرامی<sup>۱</sup>، کیوان انصاری<sup>۲\*</sup>، مسعود هنرور<sup>۳</sup>

۱- دانشجوی دکتری علوم و صنایع غذایی، دانشگاه آزاد اسلامی، واحد علوم و تحقیقات تهران، گروه علوم و صنایع غذایی

۲- استادیار، گروه پژوهشی نمایش رنگ و پردازش تصویر، موسسه پژوهشی علوم و فناوری رنگ، تهران، ایران

۳- استادیار گروه علوم و صنایع غذایی، دانشگاه آزاد اسلامی، واحد علوم و تحقیقات تهران، گروه علوم و صنایع غذایی

(تاریخ دریافت: ۹۳/۱۰/۱۶ تاریخ پذیرش: ۹۴/۷/۷)

## چکیده

شکر خام نیشکری یکی از فراورده های مهم و پر مصرف در صنعت قند و شکر به شمار می رود. خصوصیات کیفی این محصول می تواند بازترین تاثیر را در تهیه شکر سفید با بالاترین کیفیت داشته باشد. هدف از این تحقیق یافتن هر نوع همبستگی میان مختصات رنگ و خصوصیات کیفی مختلف نمونه های شکر خام نیشکری وارداتی موجود در بازار کشور بود. اطلاعات طیفی نمونه های شکر خام به کمک دستگاه اسپکتروفتورادیومتر در محدوده طول موجی ۲۸۰ الی ۷۸۰ نانومتر بدست آمده و تبدیل به مختصات رنگ گردیدند. سپس میزان همبستگی مختصات رنگ با برخی از خصوصیات کیفی نمونه های شکر خام از جمله میزان خاکستر، درصد ساکارز، درصد اینورت، شدت رنگ محلول، pH، مقدار نشاسته، غلظت دکستران، درصد رطوبت و میزان ضریب شکست تعیین گردید. نتایج نشان دهنده همبستگی در سطح بالای برخی از پارامترهای کیفی مانند نشاسته، خاکستر و رنگ محلول با برخی از مختصات رنگی همچون  $L^*$ ,  $a^*$ ,  $b^*$ ,  $X.Y.Z$ ,  $X.h.C$ ,  $Y.I$ ,  $x.y$  بود.

**کلید واژگان:** شکر خام وارداتی، رنگ سنجی، مختصات رنگ، خصوصیات کیفی، اسپکتروفتورادیومتر

طرفی در صد بالای رطوبت موجب می شود تا شکرخام به سرعت در طی فرآیند آفیناسیون<sup>۲</sup> با شربت مخلوط گردد [۴]. ضربی شکست: ضربی شکست یک ماده عبارت است از نسبت سرعت عبور نور در هوا به سرعت عبور نور در ماده مورد نظر، که این عدد برای آب خالص در دمای  $20^{\circ}\text{C}$  و در طول موج ۵۸۹ نانومتر، ۱/۳۳۳ و برای محلول ۱۰٪ ساکاراز خالص در همین دما ۱/۳۴۸ است [۴].

ترکیبات آلی غیرقندی: حضور ترکیبات آلی غیرقندی در شکرخام به دلیل وزن مولکولی بالا و ایجاد مشکلات متعدد تکنولوژیکی، از اهمیت بسزایی برخوردار هستند: دکستران، ناشاسته و ترکیبات کلوفئیدی جزو این دسته هستند [۷].

رنگ: رنگ یکی از پارامترهای مهم و اساسی در تعیین نوع و کیفیت شکرخام محسوب می شود. رنگ ظاهری شکرهای خام تولیدی از زرد روشن تا قهوه ای تیره متغیر بوده که متأثر از نوع و کیفیت فرآیند تولید آنها است [۲]. شکرهای خام با مقادیر رنگ کمتر، دارای تقاضای بالا و بسیار مورد توجه هستند، زیرا منجر به حذف مرحله آفیناسیون از فرآیند تولید و همچنین تولید شکر سفید با رنگ روشن تر می گرددن [۸]. در یک تقسیم بنده کلی مواد رنگی موجود در گیاه نیشکر را به دو گروه با منشا طبیعی و تشکیل شده در حین فرآیند تقسیم بنده می کنند [۹]. فلاونوئید ها، ملانین ها، کلروفیل ها، گزانتوفیل ها و کاروتون ها از انواع با منشا طبیعی و ملانوئیدین ها، کارامل ها و هگزوزهای قلیابی ناشی از تجزیه محصولات از انواع تشکیل شده در حین فرآیند محسوب می گرددند که در این بین رنگدانه های ملانینی با وزن مولکولی در حدود KDa ۱۵۰، سنتگین ترین رنگدانه طبیعی و ملانوئیدین ها با حدود KDa ۵۰ سنتگین ترین رنگدانه تشکیل شده در حین فرآیند تولید را شامل هستند [۲,۹]. تمامی این رنگدانه ها، در صورت باقی ماندن در شربت می توانند منجر به افزایش رنگ محصول نهایی شوند.

در بین خصوصیات فیزیکی مواد غذایی و محصولات کشاورزی، ظاهر رنگی<sup>۳</sup> به عنوان یکی از مهم ترین ویژگی ها در درک کیفیت مطرح است. ظاهر رنگی شامل رنگ بعلاوه ویژگی های هندسی نور بر روی سطح ماده است. اسپکتروفوتومترها و کالریمترها<sup>۴</sup> می توانند موقعیت هر رنگ را

## ۱- مقدمه

شکرخام یکی از فرآورده های مهم تولیدی صنعت قند و شکر می باشد که از هر دو منبع نیشکر و چغندر قند قابل استحصال است. این محصول یکی از پرمصرف ترین مواد اولیه در تولید قند و شکر در جهان محسوب می شود [۱]. شکرخام یا شکری که تصفیه کامل نداشت، کریستال ساکارازی است که به وسیله لایه نازکی از شربت با درجه خلوص پایین محسور شده است. شکرخام در کارخانه تولید شکر از نیشکر، پس از یک تصفیه اولیه که بر روی شربت خام نیشکر انجام می شود، بواسطه تاثیر عملیات کریستالیزاسیون به دست می آید [۲].

پارامترهای مختلفی در کیفیت شکرخام تاثیرگذار هستند. این خصوصیات کیفی، تحت تاثیر عوامل شیمیابی، آنژیمی و میکروبی اثر گذار، بر گیاه نیشکر و یا در خلال فرآیند تولید محصول تغییر می کنند [۳]. از جمله این عوامل می توان به مقدار ساکاراز، رنگ، حضور ترکیبات ناخالصی همچون قندهای احیاء کننده (اینورت)، مواد آلی غیرقندی، درصد رطوبت و خاکستر اشاره نمود. در این رابطه، شکرهای خام حاوی ساکاراز بالا و درصد ناخالصی پایین به منظور تصفیه بسیار مورد توجه می باشند [۴,۵].

## ۱-۱- توصیف برخی خصوصیات کیفی شکرخام:

قند اینورت: محصول اینورسیون ساکاراز تحت شرایط اسیدی و حرارت و یا در حضور آنژیم اینورتاز است. اینورت، مخلوطی از گلوكز و فروکتوز با نسبت های مساوی است که بر خلاف ساکاراز، قندی چپ گردان محسوب می شود [۶].

خاکستر: تمامی مواد معدنی موجود در شکر خام اعم از انواع محلول و غیر محلول را تحت عنوان خاکستر نامگذاری می کنند. در صد بالای خاکستر در شکرخام در زمان نگهداری این محصول تاثیر چندانی نخواهد داشت، اما به عنوان ترکیبات ملاس زا، از نقطه نظر تولید و تصفیه بسیار حائز اهمیت می باشد [۲].

رطوبت: رطوبت یکی از مهم ترین پارامترها در پایداری و ثبات حین فرآیند و انبارداری محصولات کشاورزی و فرآورده های غذایی می باشد. شکرخام با درصد رطوبت بالا را نمی توان ذخیره کرد، زیرا بسیار مستعد فساد میکروبی است، اما از

2. Affination

3. Color Appearance

4. Colorimeters

1. Invert

$h^\circ$  یا زاویه فام، زاویه ای بین ۰ الی ۳۶۰ درجه را بیان می کند که در آن زوایای بین ۹۰-۰ نشانگر حضور رنگ در منطقه قرمز- زرد، زاویه ۹۰-۱۸۰ نشانگر حضور مختصات رنگ در منطقه زرد - سبز ، زاویه ۱۸۰ - ۲۷۰ منطقه سبز - آبی و زاویه ۲۷۰- ۳۶۰ نشانگر حضور رنگ در منطقه آبی - قرمز را مشخص می سازد.

مولفه  $C^*$  فاصله خلوص را از محور خاکستری مشخص کرده و مشخص می کند که رنگی با شباهت رنگ بالاتر و یا باشد رنگی و خلوص بیشتر، مقدار  $C^*$  بیشتر نیز دارد. این مولفه از طریق فرمول ذیل قابل محاسبه است.

$$\sqrt{a^{*2} + b^{*2}} C^* =$$

لازم به ذکر است که یکی از مزایای بیان رنگ ها در فضارنگ های اشاره شده عدم وابستگی آنها به دستگاه<sup>۱۲</sup> نسبت به فضارنگ های RGB و HSI است که وابسته به دستگاه می باشند. یعنی به عبارتی یک مقدار یکسان RGB در دو نمایشگر مختلف بصورت متفاوتی از یکدیگر باخاطر خطاها تولید و کیفیت های متفاوت نمایشگرها نمایش داده می شوند. شکل ۱ دو فضای رنگی  $L^* a^* b^*$  و HSV را در نمایی سه بعدی نشان می دهد. در بیشتر پژوهش های مربوط به صنایع غذایی از فضارنگ  $L^* a^* b^*$  برای بیان رنگ مواد استفاده می شود<sup>[۱۱]</sup>. حضور بالاتر ترکیبات رنگی تیره و متمايل به قرمز همچون رنگدانه های با وزن مولکولی بالای ملانوئیدین تاثیر بسزائی در بالا رفتن مقادیر مولفه  $a^*$  در شکرها دارند. علاوه بر این نحوه فرآیند تصفیه و استفاده از رزین های تعویض یون به منظور رنگبری می تواند تا حد زیادی منجر به کاهش رنگ محصول نهایی شود<sup>[۲]</sup>.

اسپکتروفوتورادیومتر<sup>۱۳</sup> دستگاهی است که بوسیله آن می توان انعکاس طیفی مواد مختلف را در محدوده مرئی تعیین نمود. این دستگاه، قادر است با تبدیل انعکاس طیفی، که تحت عنوان اثر انگشت هر ماده نیز از آن نام برده می شود، به مختصات رنگ همچون روشنایی، خلوص و فام (تحت منابع نوری<sup>۱۴</sup> و مشاهده گر استاندارد<sup>۱۵</sup> تعریف شده) به بیان مختصات هر رنگ در فضارنگ<sup>۱۶</sup> هایی مثل  $CIEL^* a^* b^*$  و  $CIEL^* C^* h^\circ$  پردازد<sup>[۱۰]</sup>. استفاده از اسپکتروفوتومترها و در بی آن

در یک فضارنگ<sup>۱۰</sup> سه بعدی مجازی تعریف شده به شکل مختصات رنگ ارائه دهنده. از جمله این فضارنگ ها، می توان به فضارنگ معروف  $L^* a^* b^*$  CIE که در سال ۱۹۷۶ ارایه گردید اشاره نمود. از اهداف ارائه فضا رنگ ها، می توان به ایجاد یک ساختار مجازی که از دسترس خطاها انسانی در ایجاد فیزیکی آنها بدور بوده و نیز سعی در ایجاد یک ادراک بصری برابر بواسطه یک اختلاف رنگ مشخص در تمام فضا رنگ توسط مشاهده گر اشاره نمود. بدین صورت که اگر بطور مثال، مقدار اختلاف رنگ میان دو رنگ سبز در قسمتی از فضارنگ چنان باشد که در نظر مشاهده گر انسانی برابر بصری به نظر آید، آنگاه همین مقدار اختلاف رنگ میان دو رنگ آبی که در قسمت دیگری از فضا رنگ واقع هستند، همچنان در محدوده برابر بصری ادراک گردد. از سوی دیگر، از آنجا که انسان دارای این توانایی ادراکی است که از هر رنگ سه عامل مختلف روشنایی<sup>۱۷</sup>، خلوص<sup>۱۸</sup> و فام<sup>۱۹</sup> را درک کند، لذا در فضا رنگ دکارتی<sup>۲۰</sup>  $CIEL^* a^* b^*$  محور عمودی بعنوان محور روشنایی با علامت  $L^*$ ، از صفر به نشانه سیاه آل تا ۱۰۰ که سفید مرجع است متغیر است، توصیف می گردد. همچنین با توجه به آن که انسان توانایی دیدن رنگ های سبز مایل به قرمز و بر عکس و نیز رنگ های زرد مایل به آبی و بر عکس را ندارد، لذا در این فضارنگ از دو محور قرمز - سبز<sup>(۲)</sup> و زرد - آبی<sup>(۳)</sup> همچون یک محورهای مختصات استفاده شده است، که در آن  $a^*$  با مقادیر مثبت نشانگر مقدار قرمزی و مقادیر منفی  $a^*$  نشانگر سبزی است. همچنین محور  $b^*$  با مقادیر مثبت نشانگر مقدار زردی و با مقادیر منفی نشانگر آبی بودن رنگ است. از طرف دیگر با یک انتقال ساده از فضای دکارتی به فضای قطبی، فضارنگ  $CIEL^* C^* h^\circ$  حاصل می شود که در آن  $C^*$  نشانگر فاصله خلوص<sup>۲۱</sup> و  $h^\circ$  نشانگر زاویه فام<sup>۲۲</sup> است<sup>[۱۰]</sup>.

زاویه فام از طریق مولفه های  $a^*$  و  $b^*$  با توجه به رابطه ذیل محاسبه می شود.

$$\frac{b^*}{a^*} h^\circ = \arctg$$

##### 5. Color Space

###### 6. Value

###### 7. Chorma

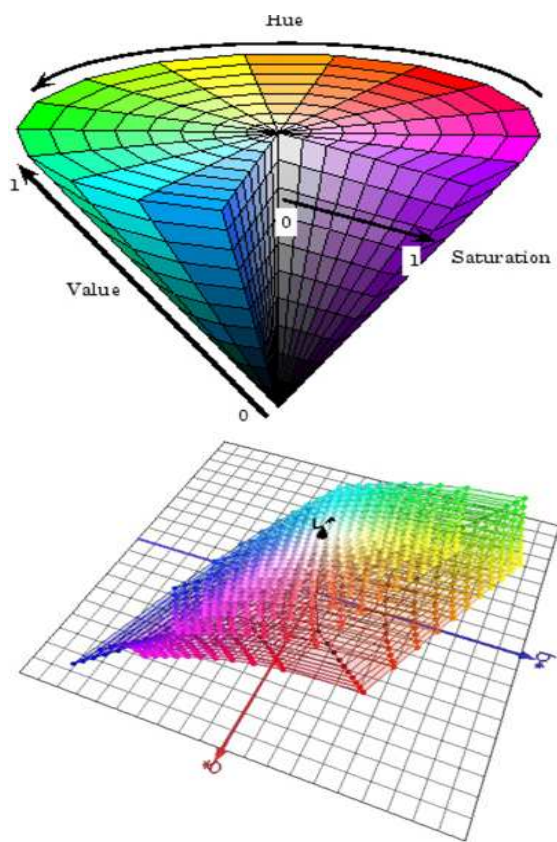
###### 8. Hue

###### 9. Cartesian coordinate

###### 10. Chroma Distance

###### 11. Hue Angle

12. Device Independent  
13. Spectrophotoradiometer  
14. Standard Illuminants  
15. Standard Observers  
16. Color Space

شکل ۱ فضا رنگ (الف) HSV ب)  $L^*a^*b^*$ 

در تحقیق حاضر با استفاده از دستگاه اسپکتروفوتورادیومتر و در محدوده طول موجی ۳۸۰ الی ۷۸۰ نانومتر نسبت به تعیین مختصات رنگ همچون  $L^*$ ,  $a^*$ ,  $b^*$ ,  $C^*$ ,  $X$ ,  $Y$ ,  $Z$ ,  $x$ ,  $y$  نمونه های مختلف شکرخام نیشکری وارداتی اقدام شد و پس از آن بررسی میزان همبستگی آن ها با خصوصیات کیفی شکرهاي خام از جمله میزان خاکستر، درصد ساکارز، درصد اینورت، شدت رنگ محلول، pH، مقدار نشاسته، غلاظت دکستران، درصد رطوبت و میزان ضریب شکست انجام گرفت.

## ۲- مواد و روش ها

### ۱-۲ مواد

نمونه های مختلف شکرخام وارداتی به تعداد ۶ نمونه و به شرح ذیل تهیه گردید:

نمونه شماره ۱ شکرخام هندی (H-A)، نمونه شماره ۲ شکرخام هندی (H-B)، نمونه شماره ۳ شکرخام برزیلی (B-A)، نمونه شماره ۴ شکرخام برزیلی (B-B)، نمونه شماره ۵ شکرخام برزیلی (B-C)، نمونه شماره ۶ شکرخام برزیلی (B-D).

اسپکتروفوتورادیومترها که قادر به طیف سنجی و رنگ سنجی محصولات غذایی بدون تماس و از یک فاصله مناسب هستند، در سال های اخیر عمومیت یافته است [۱۴، ۱۲، ۱۳].

البته استفاده از روش های رنگ سنجی در تعیین خصوصیات محصولات کشاورزی و فرآورده های غذایی مدت ها است که مورد استفاده قرار می گیرد [۱۵]. رنگ سنجی به عنوان فاکتوری در تعیین میزان تازگی فرآورده های گوشتی توسط (لاراین و همکاران<sup>۱۷</sup>) مورد بررسی قرار گرفت [۱۶]. در این تحقیق آنها به کمک مولفه های  $L^*$ ,  $a^*$ ,  $b^*$  و  $C^*$  توانایی تشخیص گوشت های تازه و فاسد را پیدا کردند. در تحقیقی دیگر نشان داده شد که رنگ حاصل از شربت هایی همچون شربت پرتقال می تواند در ارتباط با طعم، شیرینی و سایر خصوصیات کیفی مدنظر مصرف کننده آن باشد. در این خصوص (فرناندز- واکوز و همکاران<sup>۱۸</sup>) نشان دادند که روابط معناداری میان ویژگی های رنگ همچون روشنایی، خلوص و فام با خواص حسی شربت های پرتقال وجود دارد به طوری که ضریب همبستگی این خصوصیات حسی با روشنایی و فام به ترتیب  $R=0.96$  و  $R=0.92$  بود [۱۷]. در یک تحقیق دیگر مشخص گردید که عامل رنگ نهایی در تولید چیپس سیب زمینی، باید بعنوان یکی از مهم ترین پارامترهای کیفی مورد سنجش قرار گیرد [۱۸]. در پژوهشی که توسط (سگنینی و همکاران<sup>۱۹</sup>) انجام گرفت، آنها توانستند با استفاده از یک روش ساده و ارزان به تشخیص رنگ حاصله از انواع چیپس های سیب زمینی بپردازنند. آن ها مشخص نمودند که بین مختصات رنگ  $L^*$ ,  $a^*$ ,  $b^*$  و سنجش بصری، روابط آشکاری وجود دارد [۱۹]. سگنینی و همکاران در تحقیقی دیگر نشان دادند که رابطه بالایی ( $R=0.79$ ) میان  $L^*$  متوسط و سوختگی سطحی چیپس سیب زمینی وجود دارد [۲۰]. همچنین در یک تحقیق دیگر بر روی ارتباط مختصات رنگ بدست آمده از طریق اسپکتروفوتومتر انتقالی برای ۱۳ نوع عسل ایرانی با ارزیابی بصری کیفیت آن ها انجام گرفت، تلاش بر این بود که بیان کیفیت عسل را بتوان از طریق داده های رنگ جایگزین نمود [۲۱].

17. Larrain et al.

18. Fernandez-Vazquez et al.

19. Segnini et al.

انگلستان بود. از نمونه‌های شکر خام محلول‌های ۴۰٪ تهیه شده<sup>[۲۲]</sup> و به منظور اندازه‌گیری هر چه دقیق‌تر، دمای تمامی محلول‌ها در ۲۰°C تنظیم گردید. رطوبت نمونه‌های شکر خام نیز بر طبق استاندارد آیکومسا، تعیین رطوبت به روش خشک کردن اندازه‌گیری شدند.<sup>[۲۲]</sup>

سنجهش نشاسته نمونه‌های شکر خام وارداتی با استفاده از روش استاندارد BSES به شماره GS1-16 انجام شد<sup>[۲۲]</sup>. مواد و محلول‌های مورد استفاده اعم از اسید استیک، نشاسته سیب زمینی، یدید پتاسیم، یدات پتاسیم و ساکارز خالص همگی متعلق به شرکت مرک آلمان بودند. برای قرائت جذب نمونه‌ها در ۷۰۰ نانومتر از دستگاه اسپکتروفوتومتر JENWAY مدل 6320D ساخت کشور انگلستان استفاده گردید.

به منظور تعیین غلظت دکستران نمونه‌های شکر خام از روش هیز<sup>[۲۴]</sup> یا کدورت سنجی استفاده شد<sup>[۲۲]</sup>. دکستران استاندارد مورد استفاده از نوع DE0040 متعلق به شرکت اسکارلا<sup>[۲۵]</sup> اسپانیا، تری کلرو استیک اسید، الكل مطلق تقليبي و ساکارز استاندارد از شرکت مرک آلمان تهیه گردیدند. به منظور قرائت جذب نمونه‌ها از دستگاه اسپکتروفوتومتر HACH مدل DR5000 ساخت کشور آمریکا استفاده شد.

برای تعیین انعکاس طیفی نمونه‌ها از اسپکتروفوتورادیومتر مدل Konika C-2000 WI-EQ-CI1-10 کشور ژاپن استفاده شد که توانایی طیف سنجی در نواحی nm ۳۸۰ الی ۷۸۰ در محدوده مسئی را داشت. به منظور تامین روشنایی بر روی نمونه‌ها، از دو لامپ النهابی که می‌توانند توزیع انرژی طیفی<sup>[۲۶]</sup> پیوسته ای را بوجود آورند، استفاده شد. دو منبع نوری با زاویه ۴۵°+۰/۵ نسبت به سطح نمونه، با روش پیشنهادی CIE طبق آن چه در شکل ۲ نشان داده شده است تعییه شد و به مقداری از نمونه شکر که بتواند ایجاد پشت پوشی<sup>[۲۷]</sup> کند، تابانده شدند. همچنین دلیل استفاده از دو منبع نوری متقطع، ایجاد یکنواختی نور در تمامی قسمت‌های نمونه بود. مختصات رنگ نمونه‌ها تحت نور استاندارد D65 با درجه حرارت رنگ K<sup>[۲۸]</sup> ۶۵۰۰ که یکی از استانداردهای روشنایی پیشنهاد شده از سوی کمیسیون بین‌المللی روشنایی<sup>[۲۹]</sup>

از هر شش نوع شکر خام وارداتی سه نمونه آماری تهیه شد و پس از انجام آزمون‌ها، متوسط اندازه گیری‌ها لحاظ گردید. تمامی نمونه‌های وارداتی مربوط به سال کاری ۲۰۱۳-۲۰۱۲ بوده و پس از تحويل در بسته‌های تیره رنگ دور از نور خورشید و هوا تا روز آزمایش نگهداری شدند.

## ۲-۲-روش‌ها

جهت تعیین میزان خاکستر نمونه‌ها از دستگاه کنداکتومتر<sup>[۲۰]</sup> مدل (WTW LF196) ساخت کشور آلمان استفاده شد. به منظور کالیبراسیون دستگاه از یک محلول کالیبراسیون کنداکتومتر متعلق به شرکت هانا<sup>[۲۱]</sup> ساخت کشور رومانی استفاده شد. این آزمون بر اساس استاندارد آیکومسا<sup>[۲۲]</sup> به شماره GS1-10 انجام گرفت<sup>[۲۲]</sup>.

رنگ محلول در انواع شکرها مختلف بر اساس واحد IU بیان می‌شود و به منظور سنجهش رنگ محلول نمونه‌ها از دستگاه اسپکتروفوتومتر جنوای<sup>[۲۳]</sup> مدل 6320D ساخت کشور انگلستان استفاده شد. استاندارد این آزمون به شماره GS1-7 آیکومسا بود<sup>[۲۲]</sup>.

به منظور تعیین پلاریزاسیون نمونه‌های شکر خام پس از آماده-سازی محلول‌ها، از دستگاه ساکارومتر (Anton Paar) مدل MCP200 با طول سل ۲۰۰ میلی‌متر ساخت کشور آلمان استفاده گردید. این آزمون بر اساس آیکومسا به شماره GS1/2/3-1 انجام شد.

به منظور اندازه‌گیری قندهای احیاء کننده در نمونه‌های شکر خام از روش انستیتو برلین استفاده شد. اساس این آزمایش واکنش قندهای احیاء کننده با مس دو ظرفیتی (محلول مولر) و احیاء آن به مس یک ظرفیتی است. محلول مولر طبق استاندارد حاوی ۳۵ گرم سولفات مس است که در ۴۰۰ سانتی‌متر مکعب آب مقطر حل شده باشد<sup>[۲۲]</sup>.

برای تعیین ضریب شکست نمونه‌ها، محلول‌های ۱۰٪ شکر خام تهیه گردید و توسط دستگاه رفراکتومتر مدل ATR W متعلق به کمپانی (SCHMIDT+HAENSCH) ساخت کشور آلمان اندازه‌گیری ضریب شکست نمونه‌ها انجام شد. دستگاه pH متر مورد استفاده به منظور سنجهش pH محلول‌های شکر خام، مدل (JENWAY 3510) ساخت کشور

24. Haze

25. Scharlau

26. Spectral Power Distribution

27. Opacity

28. Color Temperture

29. International Commission on Illumination (CIE)

20. Conductometer (Microprocessor conductivity Meter)

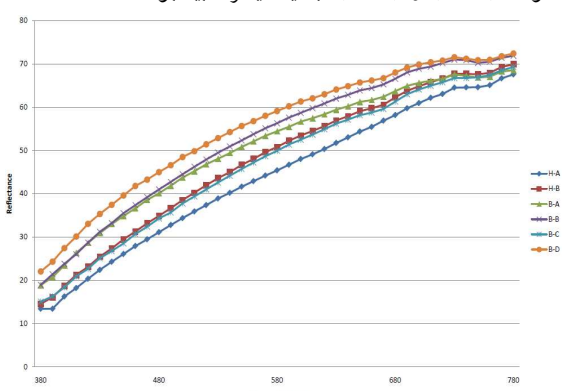
21. Hanna

22. ICUMSA

23. JENWAY

## ۲-۳-نتایج سنجش خصوصیات رنگی شکرهای خام

در جدول شماره ۲ مختصات رنگ حاصل از آزمون رنگ سنجی توسط اسپکتروفوتورادیومتر به نمایش در آمده است. در این پژوهش، تعدادی از خصوصیات رنگی نمونه ها از جمله ویژه گی های  $L^*$ ,  $a^*$ ,  $b^*$ ,  $x$ ,  $y$ ,  $Z$ ,  $X$ ,  $h$ ,  $C^*$ ,  $Y$ ,  $I$ <sup>32</sup> توسط اسپکتروفوتورادیومتر مورد سنجش قرار گرفت. همچنین در شکل شماره ۳ انعکاس طیفی نمونه های شکر خام در محدوده مرئی (۳۸۰ الی ۷۸۰ نانومتر) که توسط اسپکتروفوتورادیومتر اندازه گیری گردیده نشان داده شده است (شکل ۳). منحنی های انعکاسی نشان دهنده کاهش مقادیر انعکاس کلیه نمونه ها در ناحیه طول موج های کوتاه است که باعث می شود تحت نور سفید کلیه نمونه ها به زردی گرایش داشته باشند. در میان نمونه ها بالاترین سطح انعکاس طیفی در کلیه طول موج ها مربوط به نمونه برزیلی (B-D) و کمترین سطح انعکاس در میان نمونه ها مربوط به نمونه هندی (H-A) بود. تمامی نمونه ها از یک روند یکسان پیروی نموده ولی از نظر شباهت انعکاس طیفی می توان گفت که نمونه (H-B) و (B-C) به یکدیگر شبیه بودند.

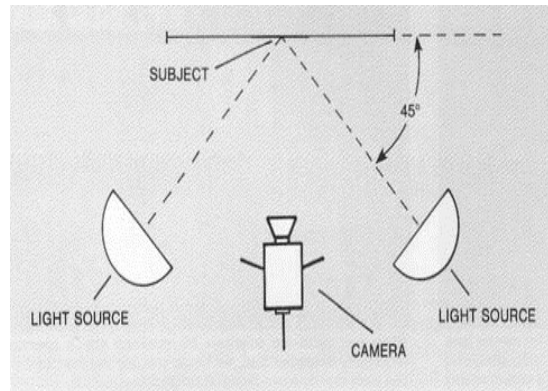


شکل ۳- انعکاس طیفی نمونه های شکر خام در محدوده مرئی (۷۸۰-۳۸۰)

بررسی مولفه  $L^*$  یا سطح روشنایی نمونه ها نیز نشان می دهد که بیشترین میزان روشنایی مربوط به نمونه برزیلی (B-D) و کمترین میزان  $L^*$  مربوط به نمونه هندی (H-A) است. از سوی دیگر میانگین مولفه روشنایی برای نمونه ها عدد ۷۵ محاسبه شد که مشخص کننده آن است که در کل، نمونه های شکر خام بررسی شده از سطح روشنایی بالایی برخوردار نیستند.

32. Yellow Index

و تداعی گر روشنایی آسمان هنگام ظهر در شمال و غرب اروپا است و نیز مشاهده گر استاندارد<sup>۲</sup> یا استاندارد توابع رنگ همانند<sup>۳</sup> ۱۹۳۱ محسوبه شدن. همچنین اندازه دریچه<sup>۴</sup> ورودی نور به دستگاه روی یک میلیمتر مربع تنظیم گردید. دستگاه اسپکتروفوتورادیومتر نیز با زاویه<sup>۵</sup> ۹۰ نسبت به نمونه قرار گرفت.<sup>[۱۰]</sup>



شکل ۲- نحوه قرارگیری دو منبع نوری نسبت به نمونه

## ۲-۳-آزمون آماری

تمامی آزمون های شیمیایی در قالب طرح بلوك کاملاً تصادفی با ۳ تکرار انجام گرفتند. برای مقایسه میانگین ها از آزمون تجزیه واریانس در سطح یک درصد و پنج درصد استفاده شد. SPSS<sub>v19</sub> جهت انجام تجزیه واریانس و مقایسه میانگین ها از Excel و جهت رسم نمودارها از نرم افزار Excel بهره گرفته شد. به منظور تعیین بررسی روابط میان مولفه های مختلف نیز از رگرسیون های خطی و غیرخطی استفاده شد.

## ۳-نتایج و بحث

### ۳-۱-نتایج آزمون های کیفی

نتایج حاصل از بررسی پارامترهای کیفی شکرهای خام نیشکری مختلف در جدول شماره ۱ نشان داده شده است. میانگین غلظت دکستران و نشاسته که از فاکتورهای مهم در عملیات تصفیه شکر خام محسوب می شوند به ترتیب ppm ۲۶۹/۷ و ppm ۱۱۱/۱ بود. نتایج بدست آمده از بررسی خصوصیات کیفی شکرهای خام مختلف مشابه با نظر دیگر محققین بود [۲۳, ۲۴].

جدول ۱ خصوصیات کیفی نمونه های شکرخام

شماره نمونه	دکتران (ppm)	نشاسته (ppm)	خاکستر (%)	ساکارز (%)	اینورت (%)	رنگ محلول (IU)	pH	ضریب شکست (%)	رطوبت (%)
(H-A) -۱	۵۷۰/۵	۱۲۲	۰/۱۶۸	۹۲/۸۲	۰/۱۸	۷۸۰/۷۵	۶/۶۷	۱/۳۴۷۷	۰/۱۵۲
(H-B) -۲	۲۰۲/۳۴	۱۴۲/۵	۰/۱۱۸	۹۹/۱۸	۰/۱۳	۹۳۰/۷۸	۶/۷۵	۱/۳۵۶۸	۰/۰۷۲
(B-A) -۳	۱۴۳/۳۴	۹۴/۵	۰/۰۹۱	۹۹/۲۲	۰/۱۷	۴۷۶/۷۴	۶/۷۵	۱/۳۴۹۹	۰/۰۶۹
(B-B) -۴	۱۶۹/۲۴	۸۷	۰/۰۹۴	۹۹/۱۱	۰/۱۸	۵۲۹/۰۱	۶/۵۲	۱/۳۴۷۲	۰/۰۵۴
(B-C) -۵	۲۹۲/۲۴	۱۲۷/۵	۰/۱۴۹	۹۹/۰۲	۰/۱۶	۹۴۵/۰۳	۶/۴۹	۱/۳۵۰۲	۰/۰۶۸
(B-D) -۶	۲۴۰/۴۵	۹۳	۰/۰۹۵	۹۸/۹۳	۰/۱۲	۵۱۸/۲۱	۶/۸	۱/۳۵۷۰	۰/۰۷۱

جدول ۲ مختصات رنگ نمونه های مختلف شکرخام

Y.I	متخصات رنگ در فضارنگ XYZ										شماره نمونه
	CIEL <sup>*</sup> C <sup>*</sup> h <sup>°</sup>	CIE L <sup>*</sup> a <sup>*</sup> b <sup>*</sup>	محورهای رنگ	متخصات رنگ در فضارنگ XYZ	محورهای رنگ	متخصات رنگ در فضارنگ XYZ	محورهای رنگ	متخصات رنگ در فضارنگ XYZ	محورهای رنگ	متخصات رنگ در فضارنگ XYZ	
y	x	Z	Y	X	h <sup>°</sup>	C <sup>*</sup>	b <sup>*</sup>	a <sup>*</sup>	L <sup>*</sup>		
۴۶/۶۱	۰/۳۷۶	۰/۳۶۸	۲۸/۲۷	۴۱/۴۰	۴۰/۴۷	۷۹/۶۴	۲۱/۲۲	۲۰/۸۷	۳/۸۲	۷۰/۴۵	(H-A) -۱
۴۵/۴۴	۰/۳۷۶	۰/۳۶۶	۳۱/۸۶	۴۶/۲۴	۴۵/۰۳	۸۰/۷۰	۲۱/۰۲	۲۱/۲۴	۳/۴۷	۷۳/۷	(H-B) -۲
۳۷/۵۹	۰/۳۶۸	۰/۳۵۶	۳۷/۷۲	۵۰/۳۵	۴۸/۶۰	۸۲/۳۷	۱۸/۱۳	۱۷/۹۷	۲/۴۱	۷۶/۲۸	(B-A) -۳
۳۹/۲۹	۰/۳۷۰	۰/۳۵۸	۳۸/۲۹	۵۱/۹۲	۵۰/۲۷	۸۱/۵۲	۱۹/۱	۱۸/۸۹	۲/۸۲	۷۷/۲۳	(B-B) -۴
۴۵/۸۹	۰/۳۷۵	۰/۳۶۶	۳۱/۲۱	۴۵/۳۹	۴۴/۲۹	۸۰/۰۹	۲۱/۵۱	۲۱/۱۹	۳/۷۰	۷۳/۱۵	(B-C) -۵
۳۴/۲۳	۰/۳۶۵	۰/۳۵۲	۴۲/۶۷	۵۵/۰۸	۵۳/۰۴	۸۲/۸۲	۱۷/۰۱	۱۶/۸۸	۲/۱۲	۷۹/۰۹	(B-D) -۶

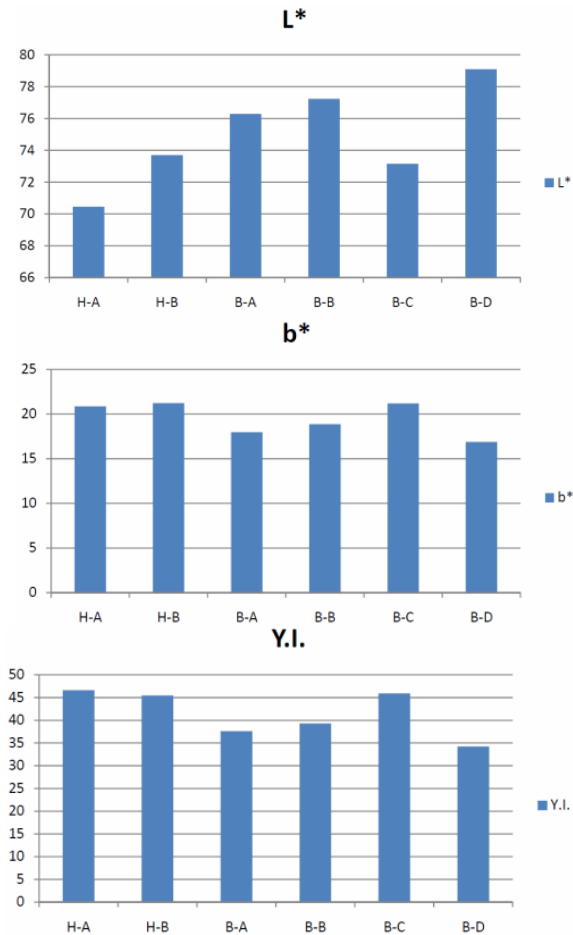
این دسته شکرها خام را به منظور کاهش هزینه های تولید و در نتیجه افزایش بازدهی و راندمان کارخانه نشان می دهد. همچنین بررسی زاویه فام  $h^{\circ}$  نمونه ها مشخص می کند که میانگین زاویه های محاسبه شده  $82/2$  درجه بود. نمونه (B-D) نزدیکترین زاویه ( $82/82$ ) و نمونه (H-A) دورترین زاویه ( $79/64$ ) نسبت به محور  $b^*$  را نشان می دهد. چنین زاویه ای نشانگر نزدیک شدن به محور زردی می باشد. از سوی دیگر، میانگین فاصله خلوص یا  $C^*$  برای نمونه ها  $19/75$  محاسبه و بیشترین این مقدار مربوط به نمونه (H-B) و کمترین آن مربوط به نمونه (B-D) بود. بررسی شاخص مهم دیگر یعنی مقیاس زردی نشان می دهد که بیشترین مقدار زردی مربوط به نمونه (H-A) با مقدار  $47/6$  و کمترین آن مربوط به نمونه (B-D) با مقدار  $34/2$  بود. شکل ۴ مقایسه ای میان برخی مختصات رنگ سنجی ۶ نمونه شکرخام وارداتی را نشان می دهد.

همچنین متوسط مولفه  $a^*$  برای نمونه های شکرخام  $3/0/6$  محاسبه شد که با بررسی مقادیر هر نمونه (که همگی دارای مقادیر اندک ولی مثبت بودند) مشخص شد که تقریباً تفاوت معناداری میان نمونه ها با یکدیگر وجود ندارد. همچنین با توجه به مقادیر کوچک  $a^*$  برای کلیه نمونه ها و مقادیر مثبت  $b^*$  بمنظور می رسد که تحت نور سفید کلیه نمونه ها به سمت منطقه زرد فضارنگ گرایش داشته باشند(با متوسط  $b^*$  برابر با  $19$ ) که کمترین مقدار  $b^*$  مربوط به نمونه برزیلی (B-D) و بیشترین مقدار آن مربوط به نمونه هندی (H-B) بود. پایین بودن هرچه بیشتر مولفه های رنگی همچون  $a^*$  و  $b^*$  یکی از امتیازات نمونه های شکرخام است زیرا منجر به حذف مرحله آفیناسیون، که مربوط به حل کردن شکرها خام با شربت است، می شود[۴]. همچنین این نوع شکرها خام با رنگ پایین در حین عملیات رنگبری طی مدت زمان کوتاهتری این مرحله را سپری می کنند[۲۵] و این نکته، اهمیت استفاده از

منفی بر عملکرد فیلترهای تصفیه، موجب اشکال در مرحله رنگبری می شوند [۲۵]. بنابراین انتظار می رود در حضور مقادیر بیشتر نشاسته در نمونه ها رنگ تیره نیز در آن ها مشاهده گردد.

همچنین با کمتر از سطح خطای  $\alpha = 0.05$  رابطه معناداری بین پارامتر خاکستر و بعضی از مختصات رنگ وجود داشت که میزان این ارتباط بترتیب با  $a^*$  (۰.۸۹٪ و مثبت)،  $X$  (۰.۹۱٪ و منفی)،  $Y$  (۰.۹۱٪ و منفی)،  $X$  (۰.۹۰٪ و مثبت)،  $y$  (۰.۸۳٪ و مثبت)،  $Y.I.$  (۰.۸۵٪ و مثبت) می باشد. همچنین با کمتر از سطح خطای  $\alpha = 0.01$  این رابطه معناداری با میزان ارتباط به ترتیب با  $L^*$  (۰.۹۲٪ و منفی)،  $h^*$  (۰.۹۲٪ و منفی)،  $Z$  (۰.۹۵٪ و منفی) مشاهده می شود. افزایش خاکستر به دلایلی همچون اثر منفی ترکیبات سولفاته بر رنگبرها و تاثیر حضور آهن در ایجاد رنگدانه ها منجر به تیرگی بیشتر رنگ فرآورده نهایی می شود [۲۶، ۲۷]. در این حالت مولفه  $L^*$  که میزان سفیدی و سیاهی محصول را نشان می دهد، با کدورت و تیرگی حاصله رابطه معکوس خواهد داشت [۲۵].

با سطح خطای کمتر از  $\alpha = 0.05$  رابطه معناداری بین پارامتر رنگ محلول و بعضی از مختصات رنگ بدست آمد که میزان این ارتباط بترتیب با  $Z$  (۰.۸۲٪ و منفی)،  $X$  (۰.۸۹٪ و مثبت)،  $C^*$  (۰.۹۰٪ و مثبت)،  $Y.I.$  (۰.۸۹٪ و مثبت) می باشد. همچنین با کمتر از سطح خطای  $\alpha = 0.01$  این رابطه معناداری با میزان ارتباط به ترتیب با  $a^*$  (۰.۸۸٪ و مثبت)،  $b^*$  (۰.۹۲٪ و مثبت)،  $C^*$  (۰.۹۲٪ و مثبت)،  $h^*$  (۰.۸۲٪ و منفی) مشاهده می شود. از سوی دیگر بین سایر پارامترهای کیفی اندازه گیری شده همچون دکستران، ساکاروز، قند اینورت، pH، ضریب شکست و رطوبت با مختصات رنگ همبستگی معناداری مشاهده نگردید. نتایج این بررسی موید آن است که فاکتورهای کیفی دخیل در تغییر رنگ شربت های قندی و در نهایت شکرخام، بر مولفه  $L^*$  اثر گذار هستند. یعنی به هر میزان فاکتوری در جهت افزایش تیرگی رنگ شکرخام اثر گذار باشد، درجهت عکس آن بر پارامتر  $L^*$  تاثیر دارد، که وجود علامت منفی در بررسی همبستگی این خصوصیت رنگی با میزان خاکستر موید این نکته است. همبستگی بالای پارامتر رنگ محلول با تعداد زیادی از مختصات رنگ نیز بسیار قابل توجه بوده و نشان دهنده ارتباط خطی بین این پارامتر با مولفه های رنگی مختلف می باشد. همچنین بیشترین میزان همبستگی میان پارامتر خاکستر با  $Z$  (با میزان ۰.۹۵٪ و علامت منفی) بدست آمد.



شکل ۴ مقایسه مختصات  $L^*$ ,  $b^*$ ,  $Y.I.$  حاصل از رنگ سنجی نمونه های شکرخام

### ۳-۳- بررسی همبستگی بین خصوصیات کیفی و خصوصیات رنگی شکرهای خام

گام بعدی بررسی همبستگی میان مختصات رنگ و خصوصیات کیفی اندازه گیری شده در شکرهای خام بود. تجزیه و تحلیل نتایج، وجود روابط در سطح و شدت بالا میان برخی از مختصات رنگ با پارامترهای کیفی را نشان داد.

نتایج جدول شماره ۳، آزمون ضریب همبستگی پیرسون، نشان می دهد که چون مقدار سطح معنی داری آزمون بین پارامتر نشاسته با برخی از مختصات رنگ کمتر از سطح خطای  $\alpha = 0.05$  یا  $p < 0.05$  است، بنابراین رابطه معناداری وجود داشته که میزان این ارتباط بترتیب برای  $a^*$  (۰.۸۲٪)،  $b^*$  (۰.۸۸٪)،  $Z$  (۰.۸۲٪)،  $X$  (۰.۸۸٪)،  $y$  (۰.۸۸٪)،  $C^*$  (۰.۸۵٪) و  $Y.I.$  (۰.۸۵٪) همگی مثبت می باشد. به عبارتی هرچه غلظت نشاسته در نمونه ها بیشتر باشد این مختصات رنگ نیز افزایش می یابند. تحقیقات نیز نشان داده است که حضور برخی ناخالصی های کلرئیدی در شربت های قندی، همچون نشاسته، علاوه بر تاثیر

جدول ۳ همبستگی میان نتایج حاصل از مختصات رنگ سنتجی و پارامترهای کیفی شش نوع شکرخام وارداتی

پارامترهای کیفی										متخصصات رنگ
رنگ محلول	ضریب شکست	اینورت	ساقاروز	خاکستر	نشاسته	دکتران	رنگ	pH		
-۰/۷۳	۰/۳۵	۰/۲۶	-۰/۷۵	-۰/۳۹	۰/۳۳	-۰/۹۲**	-۰/۷۶	-۰/۷۵	*	L*
۰/۱۱	۰/۵	۰/۶	۰/۰۸	۰/۴	۰/۵	۰/۰۱	۰/۰۷	۰/۰۹		معناداری
۰/۵۲	-۰/۳۰	-۰/۴۸	۰/۸۸**	۰/۳۱	-۰/۲۸	۰/۰۹*	۰/۸۲*	۰/۶۳	a*	همبستگی
۰/۲	۰/۵	۰/۳۴	۰/۰۰	۰/۵۴	۰/۶	۰/۰۱۷	۰/۰۴	۰/۱۸		معناداری
۰/۳۷	-۰/۱۸	-۰/۴۴	۰/۹۲**	۰/۲۲	-۰/۰۶	۰/۷۸	۰/۰۸*	۰/۴۶	b*	همبستگی
۰/۴	۰/۷	۰/۳	۰/۰۰۹	۰/۶	۰/۸۸	۰/۰۶	۰/۰۲	۰/۳		معناداری
۰/۳۸	-۰/۱۹	-۰/۴۵	۰/۹۲**	۰/۲۲	-۰/۰۹	۰/۷۹	۰/۰۸*	۰/۴۷	C*	همبستگی
۰/۴	۰/۷	۰/۳	۰/۰۰۹	۰/۶	۰/۸۵	۰/۰۶	۰/۰۲	۰/۳		معناداری
-۰/۵۶	۰/۳۸	۰/۵۱	-۰/۸۲*	-۰/۳۹	۰/۳۶	-۰/۹۲**	-۰/۷۵	-۰/۷۰		همبستگی h°
۰/۲	۰/۴۶	۰/۳	۰/۰۴	۰/۴	۰/۴۸	۰/۰۱	۰/۰۸	۰/۱۲		معناداری
-۰/۷۲	۰/۳۵	۰/۲۵	-۰/۷۴	-۰/۳۹	۰/۳۱	-۰/۹۱*	-۰/۷۶	-۰/۷۳	X	همبستگی
۰/۱	۰/۵	۰/۶	۰/۰۸	۰/۴	۰/۰۵	۰/۰۱۳	۰/۰۷	۰/۰۹		معناداری
-۰/۷۱	۰/۳۵	۰/۲۷	-۰/۷۶	-۰/۳۹	۰/۳۱	-۰/۹۱*	-۰/۷۷	-۰/۷۳	Y	همبستگی
۰/۱۰۲	۰/۵	۰/۶	۰/۰۸	۰/۴	۰/۰۶	۰/۰۱۲	۰/۰۷	۰/۱		معناداری
-۰/۶۳	۰/۳۲	۰/۳۳	-۰/۸۲*	-۰/۳۶	۰/۲۴	-۰/۹۰**	۰/۰۲*	-۰/۶۶	Z	همبستگی
۰/۱۸	۰/۵	۰/۵	۰/۰۴	۰/۴۸	۰/۶۴	۰/۰۰	۰/۰۵	۰/۱		معناداری
۰/۵۱	-۰/۲۵	-۰/۴۱	۰/۸۹*	۰/۲۸	-۰/۲۱	۰/۸۹*	۰/۰۶*	۰/۰۷	X	همبستگی
۰/۳	۰/۶	۰/۴	۰/۰۱۶	۰/۶	۰/۷	۰/۰۱۸	۰/۰۳	۰/۲		معناداری
۰/۴۷	-۰/۲۱	-۰/۳۹	۰/۹۰*	۰/۲۶	-۰/۱۴	۰/۰۸۳*	۰/۰۸*	۰/۰۴	y	همبستگی
۰/۳	۰/۶	۰/۴	۰/۰۱۴	۰/۶	۰/۸	۰/۰۳	۰/۰۲	۰/۲		معناداری
۰/۴۹	-۰/۲۵	-۰/۴۱	۰/۸۹*	۰/۲۸	-۰/۱۸	۰/۰۸۵*	۰/۰۸۵*	۰/۰۶	Y.I	همبستگی
۰/۳	۰/۶	۰/۴۱	۰/۰۱۷	۰/۵۸	۰/۷	۰/۰۳۱	۰/۰۳	۰/۲۴		معناداری

\*\* به معنی همبستگی در سطح معنادار ۰/۰۱

\* به معنی همبستگی در سطح معنادار ۰/۰۵

متخصصات رنگ  $L^*$ ,  $X$ ,  $Y$  با فقط درصد خاکستر همبستگی معنا دار داشتند. همچنین میان پارامترهای کیفی دکتران، ساقاروز، قد اینورت، pH، ضریب شکست و رطوبت با متخصصات رنگ همبستگی معناداری مشاهده نگردید.

#### ۴- نتیجه گیری

بدست آمدن همبستگی معنادار میان خصوصیات کیفی شکرخام با متخصصات رنگ راهگشای علمی خوبی برای تحقیق در خصوصیات پیشگویی خصوصیات کیفی از طریق مشخصه های رنگ است. در این تحقیق مشخص گردید که متخصصات رنگ  $Z$ ,  $X$ ,  $y$ ,  $Y.I$  حاصل از داده های اسپکتروفتورادیومتری شش نوع شکرخام وارداتی با خصوصیات کیفی همچون غلاظت نشاسته، خاکستر و شدت  $C^*$ ,  $b^*$  رنگ محلول همبستگی معنادار داشته و متخصصات رنگ  $b^*$  با نشاسته و رنگ محلول و  $h^*$  با خاکستر و رنگ محلول و

#### ۵- منابع

- [1] Engida,E . Bultosa, G. Bussa, N. (2013). Physicochemical quality of Ethiopian plantation white sugar from three sugar factories. International Journal of Scientific and Research Publications, Volume 3, Issue 7, 1 ISSN 2250-3153.

- estimate CIE color coordinates of beef. Food Research International, 41: 380-385.
- [17] Fernandez-Vazquez, R., Stinco, C. M., Melendez-Martinez, A. J., Heredia, F. J., & Vicario, I. M. (2011). Visual and instrumental evaluation of orange juice color: a consumers' preference study. Journal of Sensory Studies, 26:436-444.
- [18] Pedreschi, F., Bunger, A., Skurtys, O., Allen, P., & Rojas, X. (2012). Grading of potato chips according to their sensory quality determined by color. Food and Bioprocess Technology, 5: 2401-2408.
- [19] Segnini, S., Dejmek, P., & Oste, R. (1999). A low cost video technique for colour measurement of potato chips. Food Science and Technology e Lebensmittel-Wissenschaft & Technologie, 32:216-222.
- [20] Segnini, S., Dejmek, P., & Oste, R. (1999). Relationship between instrumental and sensory analysis of texture and color of potato chips. Journal of Texture Studies, 30: 677-690.
- [21] Zanganeh M., Safi M., Ansari K., (2014) Instrumental and visual evaluation of color change in iranian honey samples under different illuminants, International Food Research Journal, 08; 21(1):407-411.
- [22] ICUMSA (International Commission for Uniform Methods of Sugar Analysis).(2005): ICUMSA Methods: GS1/2/3-1, pp. 1-6; GS1-7, pp. 1-2;GS1-10; GS1/2/3/47/8-23, pp. 1-2, GS1/3/7-3, pp. 1-4; GS2-33, pp. 1-3, GS2/3-17, pp. 1-2, GS2/1/3-15, pp. 1-2; GS1-15, pp.1-4 "GS1-16,pp. 1-4, Berlin, Germany.
- [23] El-Syad.S.I. (2000). Egyptian raw cane sugar quality in relation to refining requirements. Food Chemistry 68: 253-257.
- [24] Shaikh.J.G, Bhatti.M.B, Rashid.Kh, Khalid.M. (2011).To introduce the raw sugar refinery, its operational concept and quality perspectives in Pakistan. Life Science International Journal, Issue-1, 2053-2062.
- [25] Baunsgaard.D.(2000). Analysis of color impurities in sugar processing using fluorescence spectroscopy and chemometrics. . Ph.D Thesis. The Royal Veterinary and Agricultural University Department of Dairy and Food Science Chemometrics Group, Food Technology Denmark.
- [26] Saranin, A. P. (1972). Technology of Phos-floatation of Sugar Melt. Sugar Tech. Rev., 02: 1-72.
- [27] Bardwell, D. J., J. R. Croker and N. H. Paton (1985). Recent application of colour fractionation in CSR refineries. Proc. Sug. Ind. Tehnol. 44: 32-52.
- [2] Chou.Ch.c .(2000). Handbook of sugar refining;A manual for the design and operation of sugar refining facilities. John Wiley & sons.
- [3] Irvine, J. E. (1993). Sugarcane. In J. C. P., Chen and C. C., Chou, (eds.). Cane Sugar Handbook (12th ed. pp. 1-20). New York: John Wiley & sons.
- [4] Asadi, M.(2007). Beet sugar handbook. John Wiley and Sons,Inc.,USA
- [5] Mersad A, Lewandowski R, Heyd B and Decloux M, (2003). Colorants in the sugar industry. Int. Sugar Jnl. Vol. 105, No. 1254: 269-281.
- [6] deMan,J.M.(1990). Principles of food chemistry.2<sup>nd</sup> edn. Van Nostrand Reinhold,New York.
- [7] Kulkarni.D.P. (2009). Cane sugar manufacturing in India. Vol 1. The sugar technologist association of India.
- [8] Davis.S.B. (2001). The chemistry of color removal: A processing perspective, Sugar Milling Research Institute, University of Natal, Durban, 4041, South Africa.
- [9] Godshall, M. A. (1996). Recent progress in sugar colorants. In Proceedings of the 1996 Conference on Sugar Processing Research, New Orleans, LA, 262-305.
- [10] Ansari K.,Mahmudi A., (2012). Color management in displays, Publisher naghshe bayan, 61 Pages (in Persian).
- [11] Wu.D and Sun.D.W (2012).Colour measurements by computer vision for food quality control.Trends in food science & technology.
- [12] Wu, D., He, Y., & Feng, S. (2008). Short-wave near-infrared spectroscopy analysis of major compounds in milk powder and wavelength assignment. Analytica Chimica Acta, 610:232-242.
- [13] Wu, D., Chen, X. J., Shi, P. Y., Wang, S. H., Feng, F. Q., & He, Y. (2009). Determination of alpha-linolenic acid and linoleic acid in edible oils using near-infrared spectroscopy improved by wavelet transform and uninformative variable elimination. Analytica Chimica Acta, 634: 166-171.
- [14] Wu, D., He, Y., Nie, P. C., Cao, F., & Bao, Y. D. (2010). Hybrid variable selection in visible and near-infrared spectral analysis for non-invasive quality determination of grape juice. Analytica Chimica Acta, 659:229-237.
- [15] Du.Ch.J and Sun.D.W (2004). Recent development in the applications of image processing techniques for food quality evaluation.Trends in food science & technology.
- [16] Larrain, R. E., Schaefer, D. M., & Reed, J. D. (2008). Use of digital images to

## **CIE color coordinates measurement of imported raw cane sugar samples using spectrophotometer and correlation with their certain quality parameters**

**Bahrami, M. E.<sup>1</sup>, Ansari, K.<sup>2\*</sup>, Honarvar, M.<sup>3</sup>**

1. Ph.D Student of Food Science and Technology, Islamic Azad University, Science and Research Branch of Tehran, Iran
2. Assistant Professor, Department of Color Imaging and Color Image Processing, Institute for Color Science and Technology, Tehran, Iran
3. Assistant Professor of Food Science and Technology, Islamic Azad University, Science and Research Branch of Tehran, Iran

**(Received: 93/10/16 Accepted: 94/6/7)**

Raw cane sugar is the one of the most important products in sugar industry. Quality characteristics of raw sugar are the main influence factor in type and quality of refined sugars. The purpose of this research was to find agreement between the CIE color coordinates and certain quality parameters of various imported raw cane sugar samples. The spectral reflectance of such raw sugar samples were determined with the aid of a spectrophotometer in the range 380 to 780 nm and were then converted to their corresponding CIE color coordinates. The correlation between such color coordinate values and certain quality parameters of samples such as; ash content, sucrose, invert sugar, color solution, pH, starch, dextran content, moisture and refractive index were determined. Results show good to very good correlations between some quality parameters such as starch content, ash content and color solution and various CIE color coordinates values such as L\*, a\*, b\*, C\*, h, X, Y, Z, x, y and Y.I.

**Key word:** Raw Cane Sugar, Color Measurement, Color Coordinate Values, Quality Parameter, Spectrophotometer

---

\* Corresponding Author E-Mail Address: kansari@icrc.ac.ir